

La percezione degli odori da parte dell'uomo è di fondamentale importanza nella valutazione della qualità dei prodotti alimentari. Numerosi sforzi sono stati fatti in questi ultimi anni per introdurre sul mercato strumenti che operino con principi simili a quelli olfattivi umani: il “*naso elettronico*” è uno strumento che unisce alla sensibilità discriminante del naso umano l’oggettività della risposta strumentale fornendo risultati comparabili in tempi brevi.

DEFINIZIONE

Il “*naso elettronico*” è uno strumento che comprende una serie di sensori chimici non specifici e un sistema di pattern recognition in grado di riconoscere odori semplici e complessi (Gardner and Bartlett, 1994. Sensors and Actuators B, 18, 221.).



IL NASO

UMANO

Polmoni

Nervi olfattivi

Bulbo olfattivo

Cervello

Campionamento

Sensazione

Processamento

Risoluzione

ELETTRONICO

Pompa

Sensori

Raccolta dei dati

Rete Neurale

COME E' COSTITUITO IL NASO ELETTRONICO?

Similmente al sistema olfattivo umano, è costituito da:

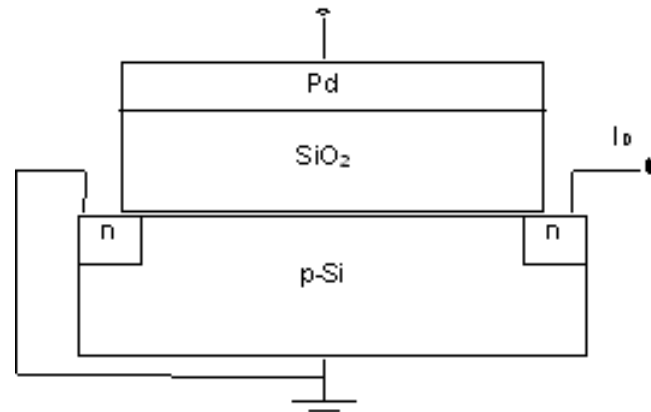
- **Sensori chimici (10 MOSFET and 5 MOS)** simili ai recettori olfattivi umani
- **Un software di pattern recognition (NST Senstool)** simile al cervello umano

SENSORI MOSFET

Transistor di ossidi di metallo ad effetto di campo

Sono costituiti da tre strati:

- Silicio semiconduttore
- Isolante ad ossido di silicio
- Metallo catalitico (Pt, Pd, etc.)



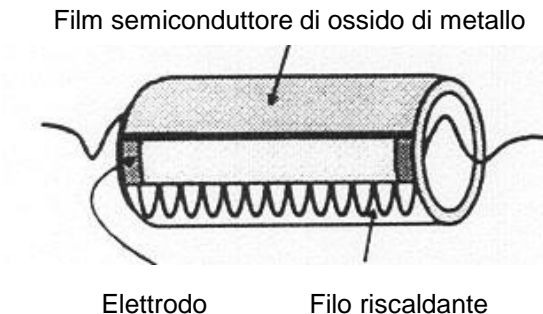
Operano come un transistor a cui viene applicato un potenziale. Sono sensibili a composti contenenti idrogeno (ammime, aldeidi, esteri, chetoni, aromatici ed alcoli) e lavorano alla temperatura di 140-170°C. Quando una molecola polare interagisce con il metallo, il campo elettrico viene modificato, ciò provoca una variazione di corrente. Lo strumento registra il cambiamento di voltaggio necessario per riportare la corrente al valore iniziale.

SENSORI MOS

Semiconduttori ad ossidi di metallo

Sono costituiti da tre strati:

- Substrato di ceramica
- Filo riscaldante
- Film semiconduttore di ossidi di metallo (Zn, Co, etc.)



Si basano su cambi di conducibilità indotti da reazioni superficiali dovute all'adsorbimento del gas. Sono sensibili a molti gas di combustione (idrocarburi saturi, NO, CO). Operano alla temperatura di 300-400°C. Il meccanismo di reazione si basa su uno scambio di ossigeno tra le molecole volatili ed il film metallico, che provoca un cambio di resistenza registrato e correlato ai composti adsorbiti.

NST SENSTOOL

Analizza i dati utilizzando tre metodi di pattern recognition:

- **PCA: Principal Component Analysis**
- **PLS: Partial Least Square Regression**
- **ANN: Artificial Neural Network**

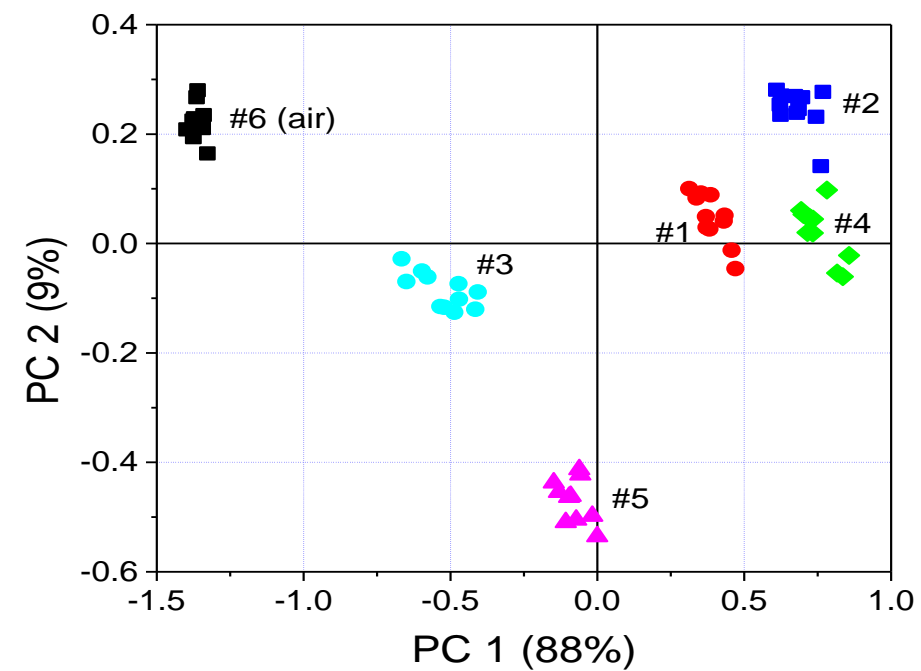
Essi permettono di:

- studiare l'insieme dei dati (PCA e PLS)
- predire le proprietà dei campioni (PLS e ANN)

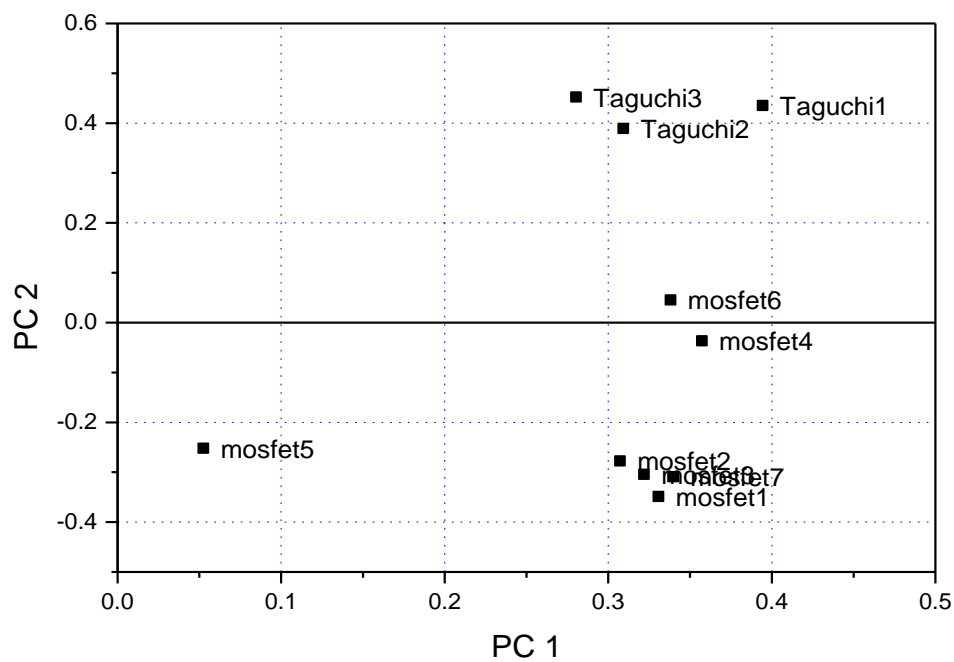


RISULTATI PCA

Score plot

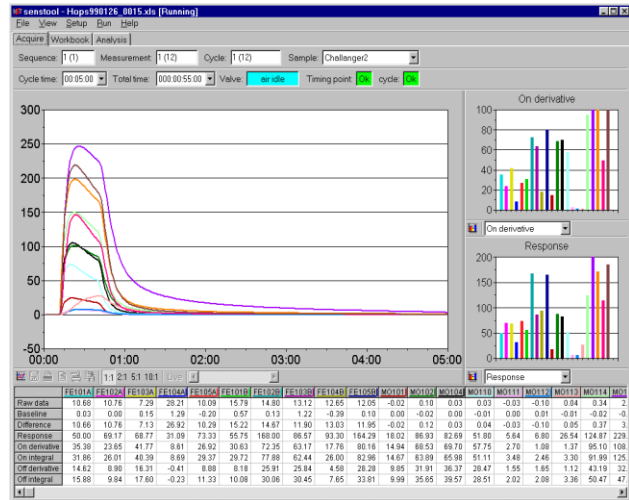


Loading plot



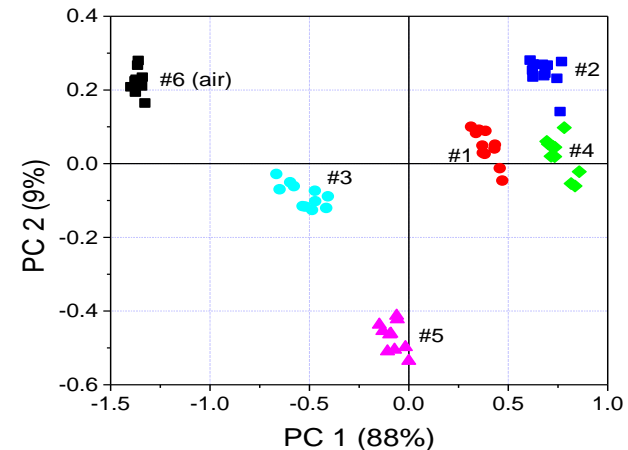
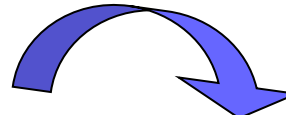
PROCESSO ANALITICO

Come lavora il naso elettronico?



Lo spazio di testa del campione è aspirato e trasferito sulla superficie dei sensori

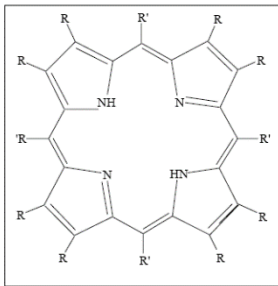
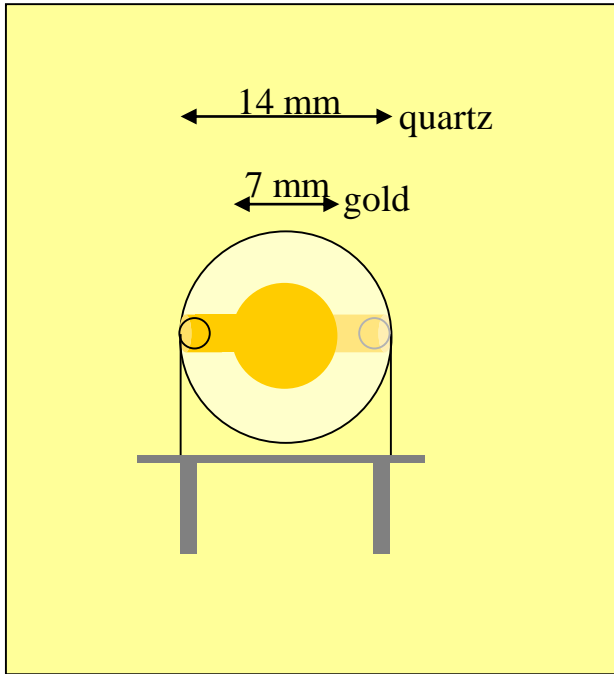
La risposta dei sensori è convertito in un segnale elettrico monitorabile dal computer



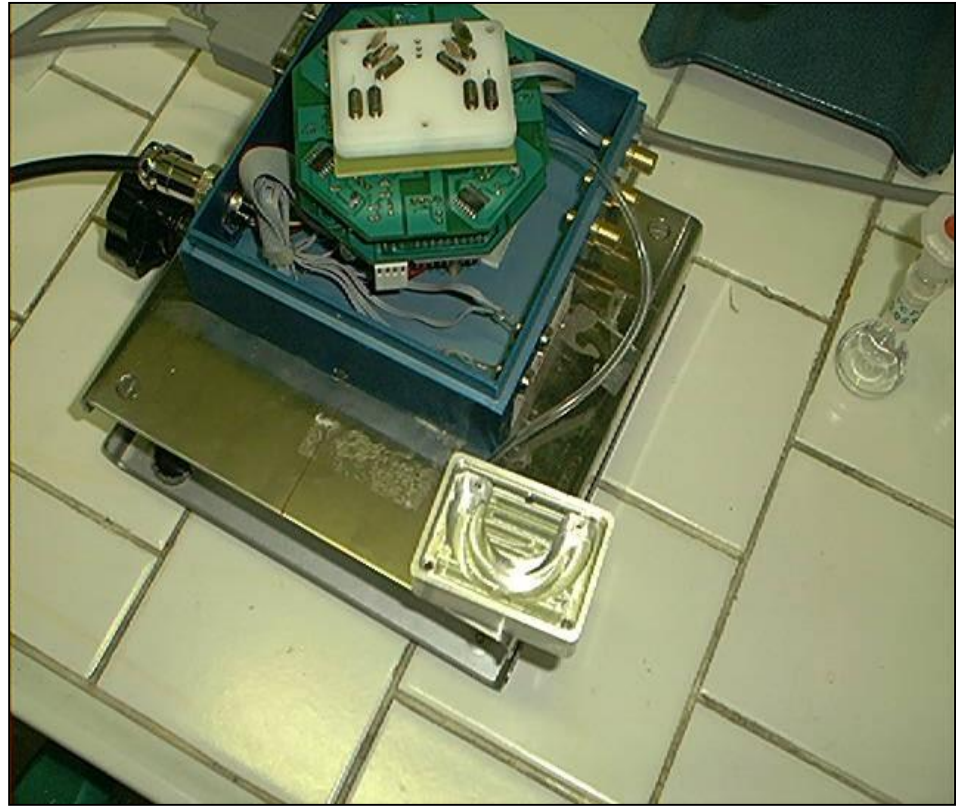
La risposta dei sensori viene elaborata usando metodi di analisi multivariata

Piezoelectric System

Electronic nose



Butiloxy Tetra Phenyl Porphyrin



Cu
Co
Zn
Mn
Fe
Sn
Ru
Cr



An electronic nose can now diagnose cancerous tumors. A new research have designed an electronic nose to help diagnose malignant mesothelioma early on. This nose can detect the presence of the tumor with a breath test. Malignant mesothelioma is an uncommon, usually fatal, cancerous tumour of the lining of the lung and chest cavity or lining of the abdomen (peritoneum) caused by long-term asbestos exposure. The device was designed to distinguish between benign and malignant disease and to detect the disease early. “If you catch it earlier, your chances of actually giving people the right treatment to stop it spreading are actually better,” said team leader, Deborah Yates. “We tried to exclude the other asbestos diseases because it’s very important from a patient’s point of view that you don’t pick up something that is a benign asbestos disease, so that you don’t diagnose them with something that’s not actually a problem,” added Yates.

<https://www.thehealthsite.com/news/electronic-nose-helps-locate-deadly-tumour/>

Applicazioni del naso elettronico nel settore alimentare

Birra e bevande

- Controllo materie prime
- Shelf-life
- Monitoraggio (on line) fermentazione



Latte e derivati

- Odori estranei nel latte
- Rancidità nel latte e formaggi
- Conservazione dei formaggi



Prodotti della pesca

- Shelf-life
- Freschezza



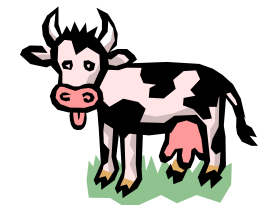
Succhi di frutta

- Odori estranei
- Purezza
- Origine
- Ossidazione



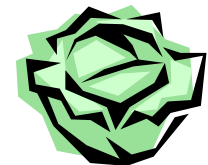
Carne e derivati

- Rancidità
- Shelf-life
- Odori estranei



Vegetali

- Freschezza
- Additivi
- Shelf-life

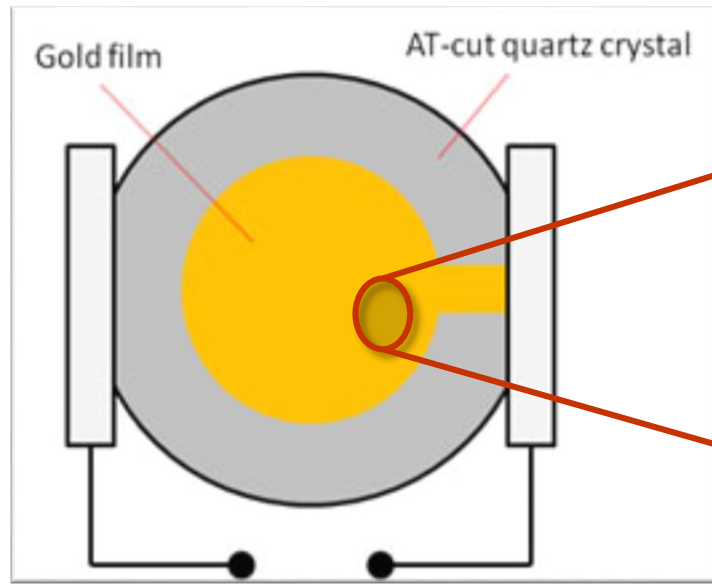


Grani

- Classificatione
- Umidità



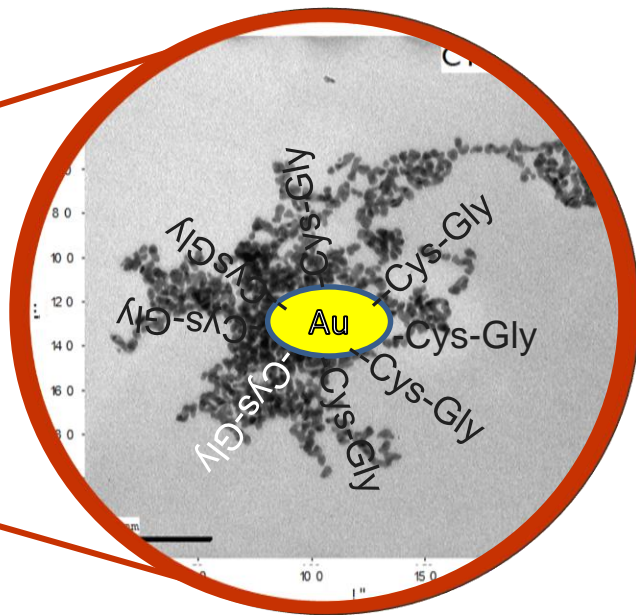
Quartz crystal micro-balance



14 mm AT quartz

7 mm gold

Resonant frequency 20
MHz



Real samples

Chocolate

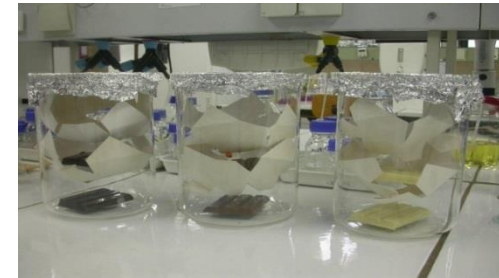
- Ⓐ Temperature: 40°C
- Ⓐ Equilibration time: 10 min
- Ⓐ 15g in 100 mL lab bottle
grated and melted
- Ⓐ 4 L/h

Standard Samples

Off-flavoured samples

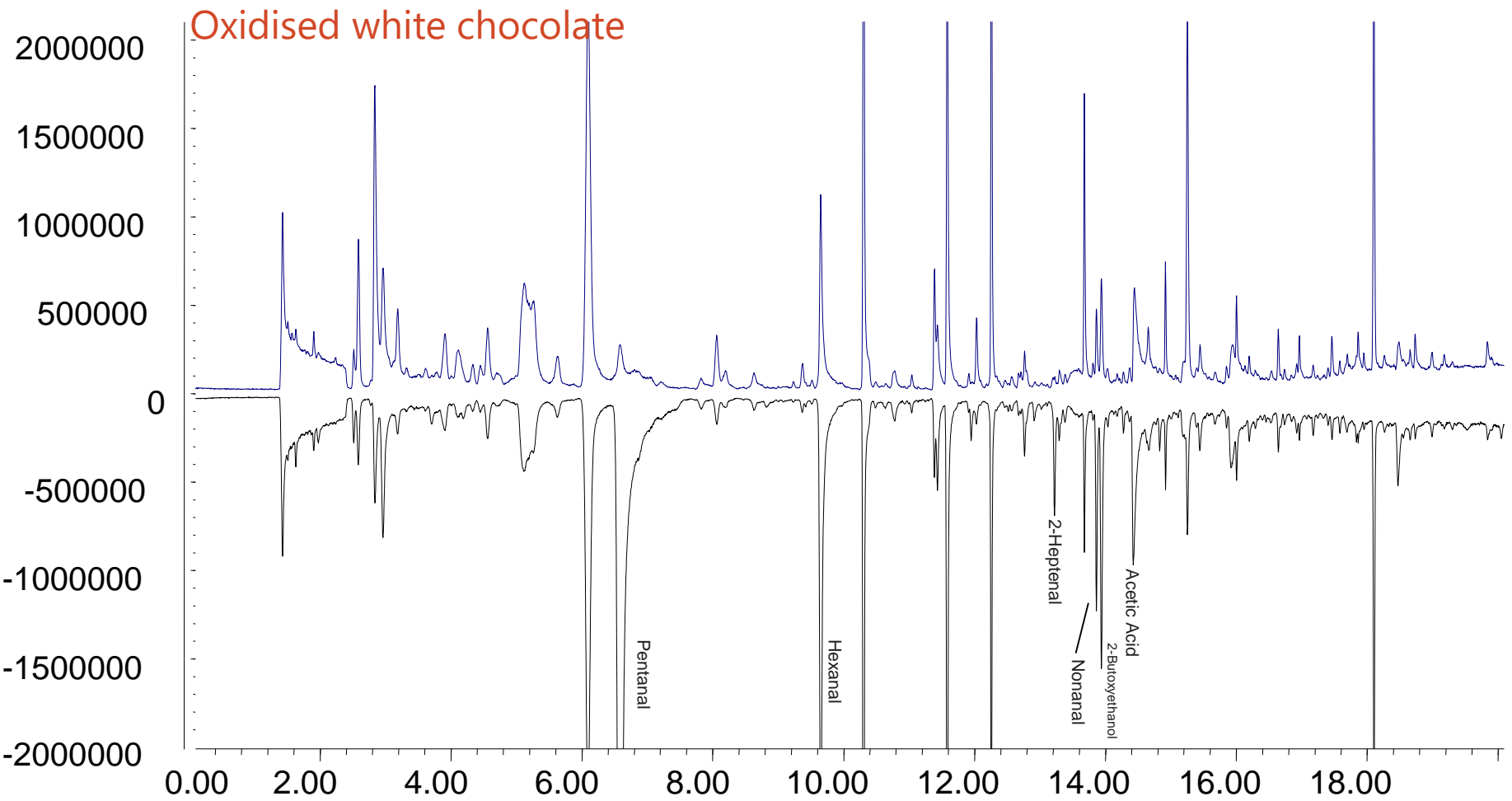
PLS-DA analysis

Off-Flavour	Process
3 methylbutanal	
Phenylacetaldehyde	Fermentation volatiles
Acetic Acid	Conching process
Tetramethylpyrazine	
2-acetylpyrrole	Roasting Process
2-nonenal	
2,4-decadienal (t,t)	Fat related (oxidation)



Off-flavours were preliminarily added in the cocoa butter to achieve the concentration of 125 ppm. One tea spoon of contaminated cocoa butter was then added to 400 g of chocolate to obtain an estimated final concentration in the sample of ~ 6ppm.

Real samples



Electronic nose sensor arrays

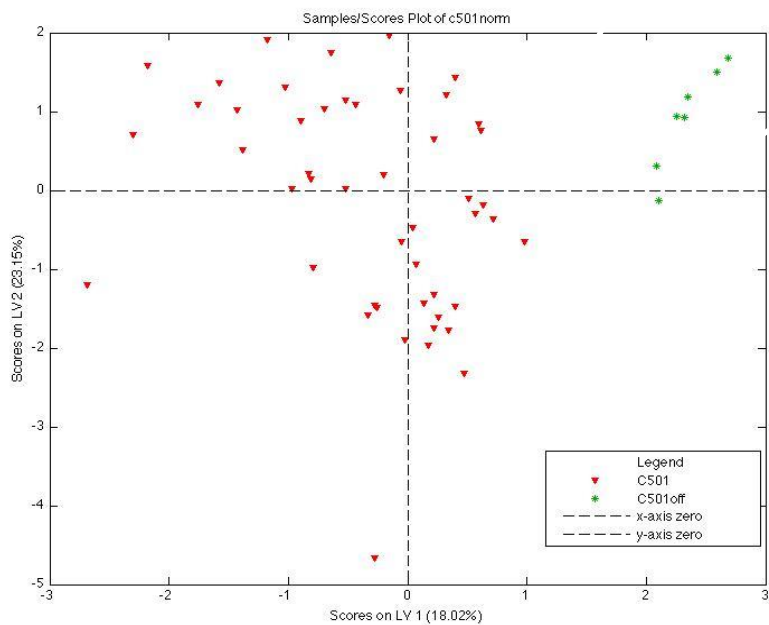
GNP-Peptide based

- ✓ **GNP-Glutathione**
- ✓ **GNP-Cys-Gly**
- ✓ **GNP-Cys**
- ✓ **GNP-Thioglicolic Acid**
- ✓ **GNP-Cys-Arg-Gln-Val-Phe**
- ✓ **GNP-Cys-Ile-His-Asn-Pro**
- ✓ **GNP-Cys-Ile-Gln-Pro-Val**
- ✓ **GNP**

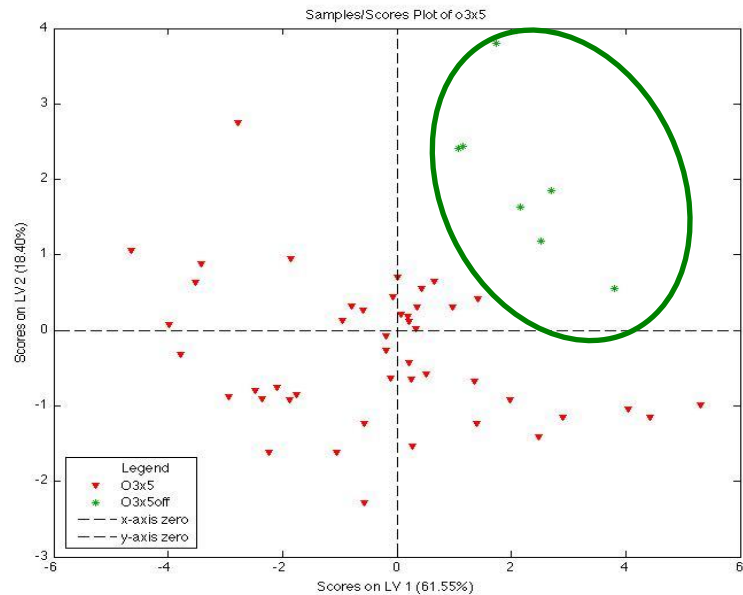
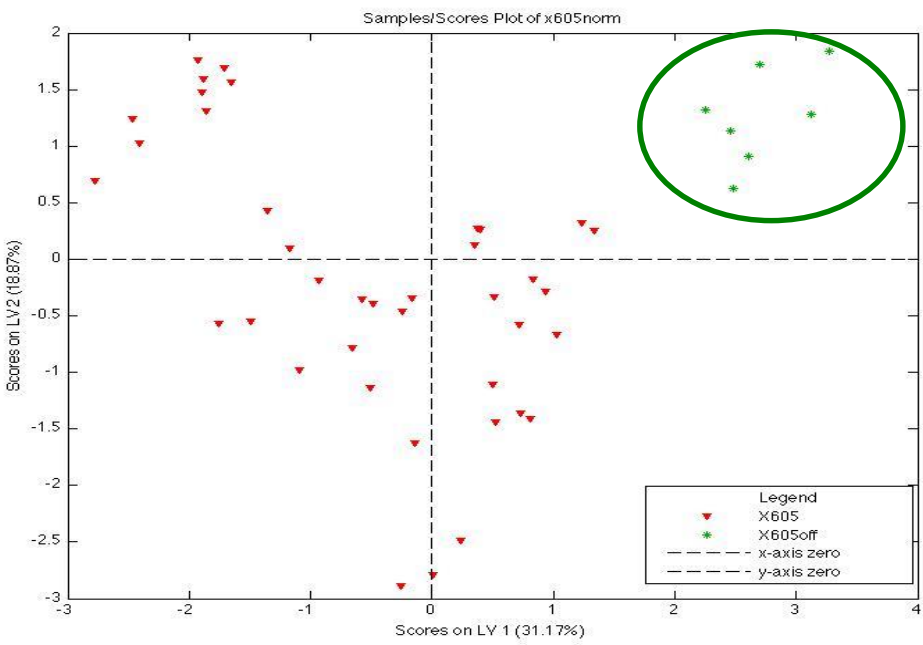
Porphyrin based

- ✓ **Cu-Buti-TPP**
- ✓ **Co-Buti-TPP**
- ✓ **Zn-Buti-TPP**
- ✓ **Mn-Buti-TPP**
- ✓ **Fe-Buti-TPP**
- ✓ **Sn-Buti-TPP**
- ✓ **H₂-Buti-TPP**
- ✓ **Mg-Buti-TPP**

Dark Chocolate



White Chocolate



Milk Chocolate

GNP-Peptide vs. Porphyrin

GNP-Peptide based

	Regular	Off	%	Flavours	Correct		Regular	Off	%	Flavours	Correct		Regular	Off	%	Flavours	Correct	
Regular	48	0	100				Regular	39	0	100				Regular	51	1	98	
Off flavours	0	7	100				Off flavours	0	7	100				Off flavours	0	7	100	

Tot. Correct:

Tot. Correct:

Tot. Correct:

Porphyrin based

	Regular	Off	%	Flavours	Correct		Regular	Off	%	Flavours	Correct		Regular	Off	%	Flavours	Correct	
Regular	14	1	93				Regular	13	1	92				Regular	15	1	94	
Off flavours	1	9	90				Off flavours	4	8	67				Off flavours	4	8	67	

Tot. Correct:

Tot. Correct:

Tot. Correct:

✓ 3 structuring agents

- ✓ Gelatine [Gel]
- ✓ Pectin [Pec]
- ✓ Gum Arabic [G.Ar.]

✓ 2 aromas

- ✓ Natural [A]
- ✓ Natural identic [B]

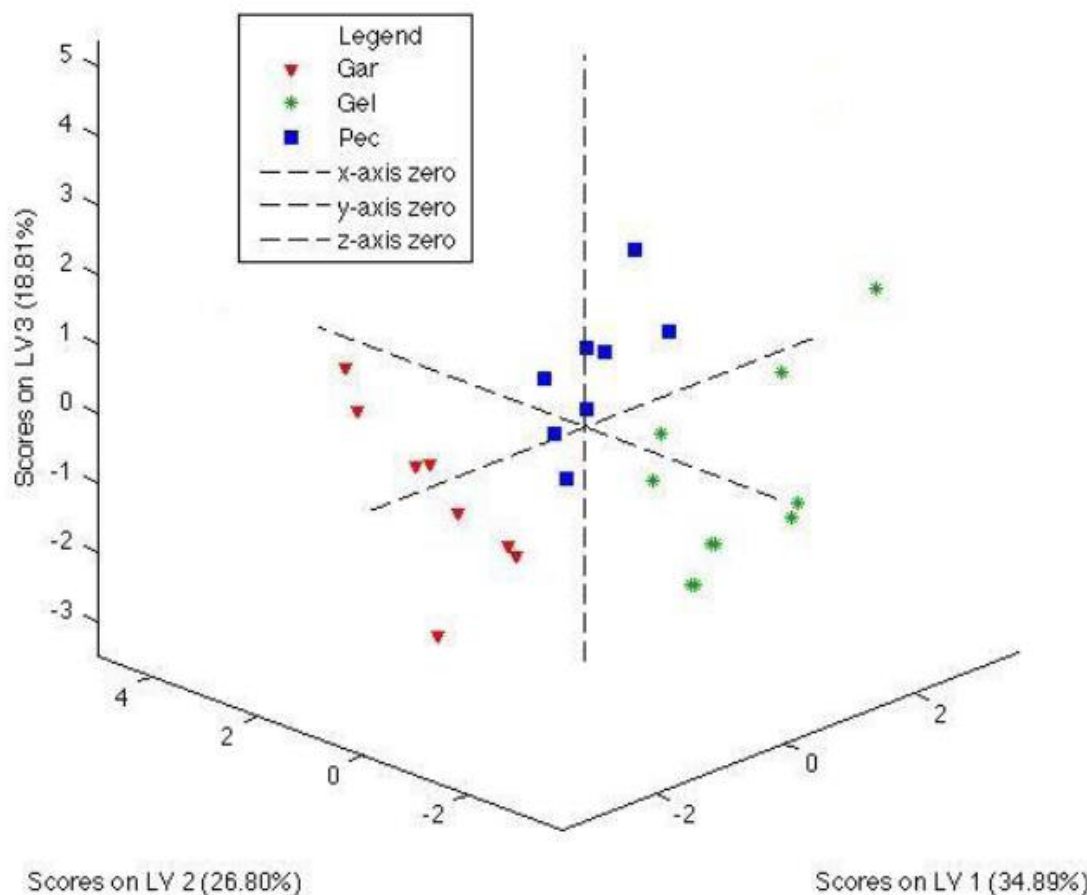
✓ 2 concentrations

- ✓ 0.15% [1]
- ✓ 0.30% [2]



GC-MS

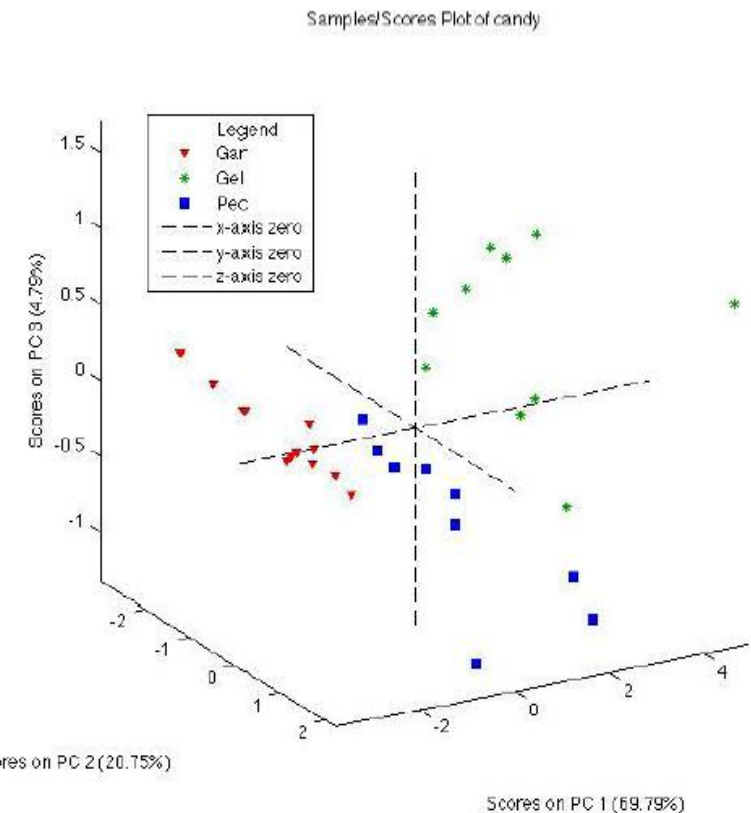
Candies structuring PLS-DA



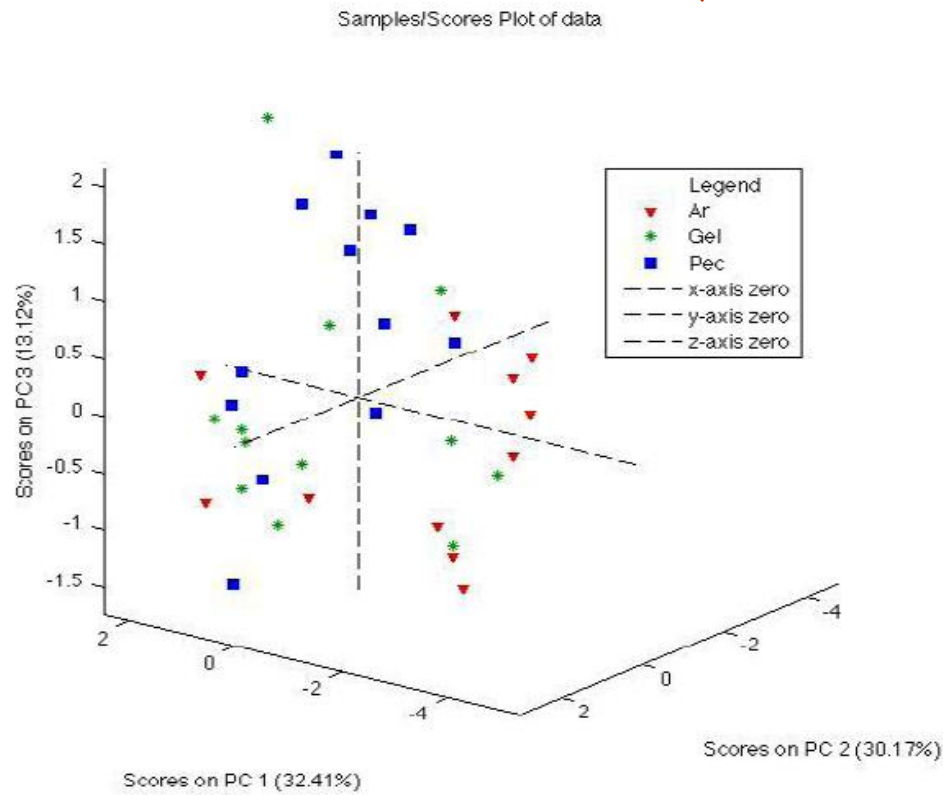
Electronic nose

Structuring

GNP-Peptide based



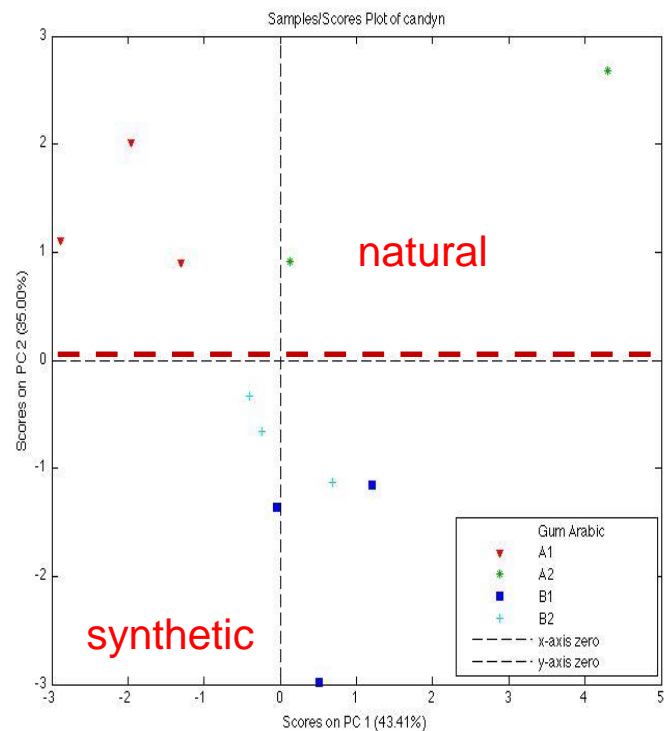
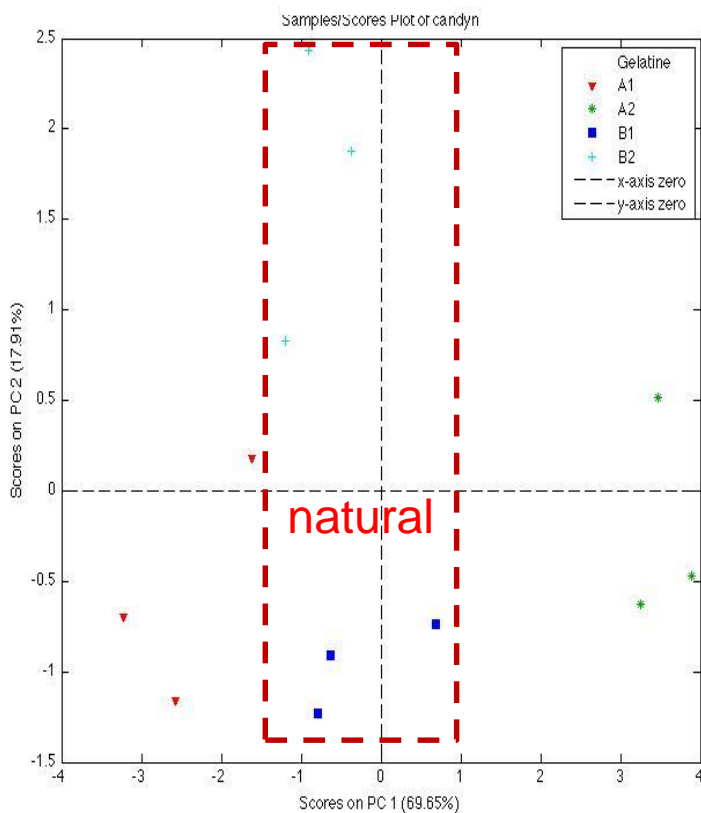
Porphyrin based



GNP-Peptide based (aroma)

Arabic gum

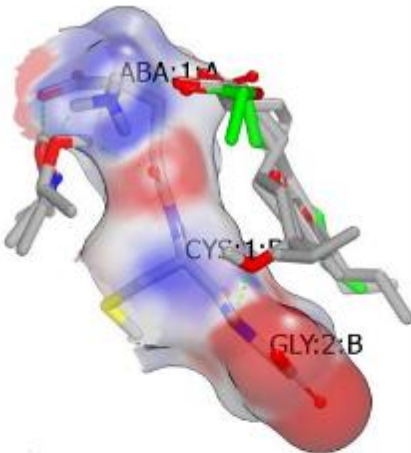
Gelatin



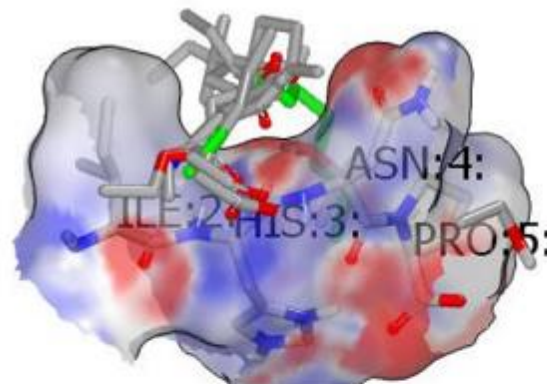
Peptide design

Virtual screening

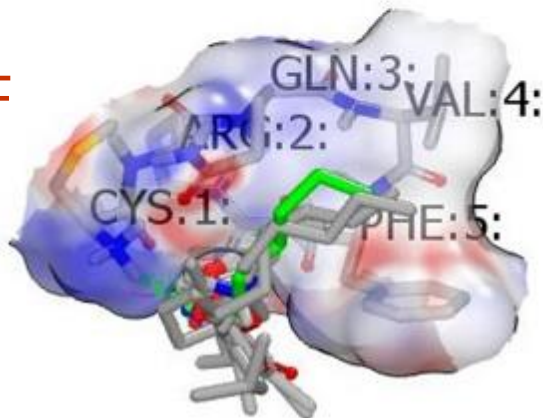
Glutathione



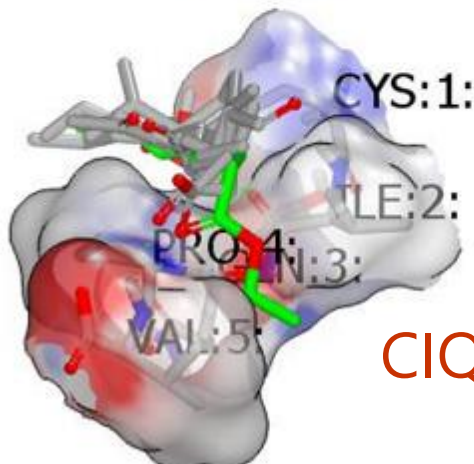
CIHNP



CRQVF



CIQPV



Peptide design

Virtual VS Experimental data

- ✓ Binding scores compared with real samples ΔF data (T-test), after normalization
- ✓ Data having p-value > 0.05 were considered statistically equivalent as positive match (marked with "+")

	CG	Glutathione	CIHNP	CIQPV	CRQVF
2-Propanol	-	-	+	+	-
Acetone	-	+	-	+	+
Acetonitrile	-	+	+	+	+
Butane-2,3-dione	+	-	+	+	+
Ethanol	-	-	+	+	-
Ethyl acetate	+	+	+	+	+
Ethyl butanoate	+	+	+	+	+
Ethyl octanoate	-	+	-	-	+
Hex-3-en-1-ol	-	+	+	+	-
Hexane	+	+	+	+	+
Isopentyl acetate	-	+	+	+	-
Nonanal	-	+	+	+	+
Octanal	-	+	+	+	+
Terpinen-4-ol	-	-	+	+	+

78% good matching

Peptide design

Virtual VS Experimental data

	CG	Glutathione	CIHNP	CIQPV	CRQVF	
2-Propanol	-	-	+	+	-	✓ CG only 29% positive match
Acetone	-	+	-	+	+	✓ Glut.: 71%. CRQVF: 71% CIHNP: 86% CIQPV: 93%
Acetonitrile	-	+	+	+	+	✓ Very bad matching with ethanol and 2-propanol
Butane-2,3-dione	+	-	+	+	+	✓ Very good matching with Esters and Aldehydes
Ethanol	-	-	+	+	-	✓ Best matching with compounds with MW>60g/mol
Ethyl acetate	+	+	+	+	+	
Ethyl butanoate	+	+	+	+	+	
Ethyl octanoate	-	+	-	-	+	
Hex-3-en-1-ol	-	+	+	+	-	
Hexane	+	+	+	+	+	
Isopentyl acetate	-	+	+	+	-	
Nonanal	-	+	+	+	+	
Octanal	-	+	+	+	+	
Terpinen-4-ol	-	-	+	+	+	